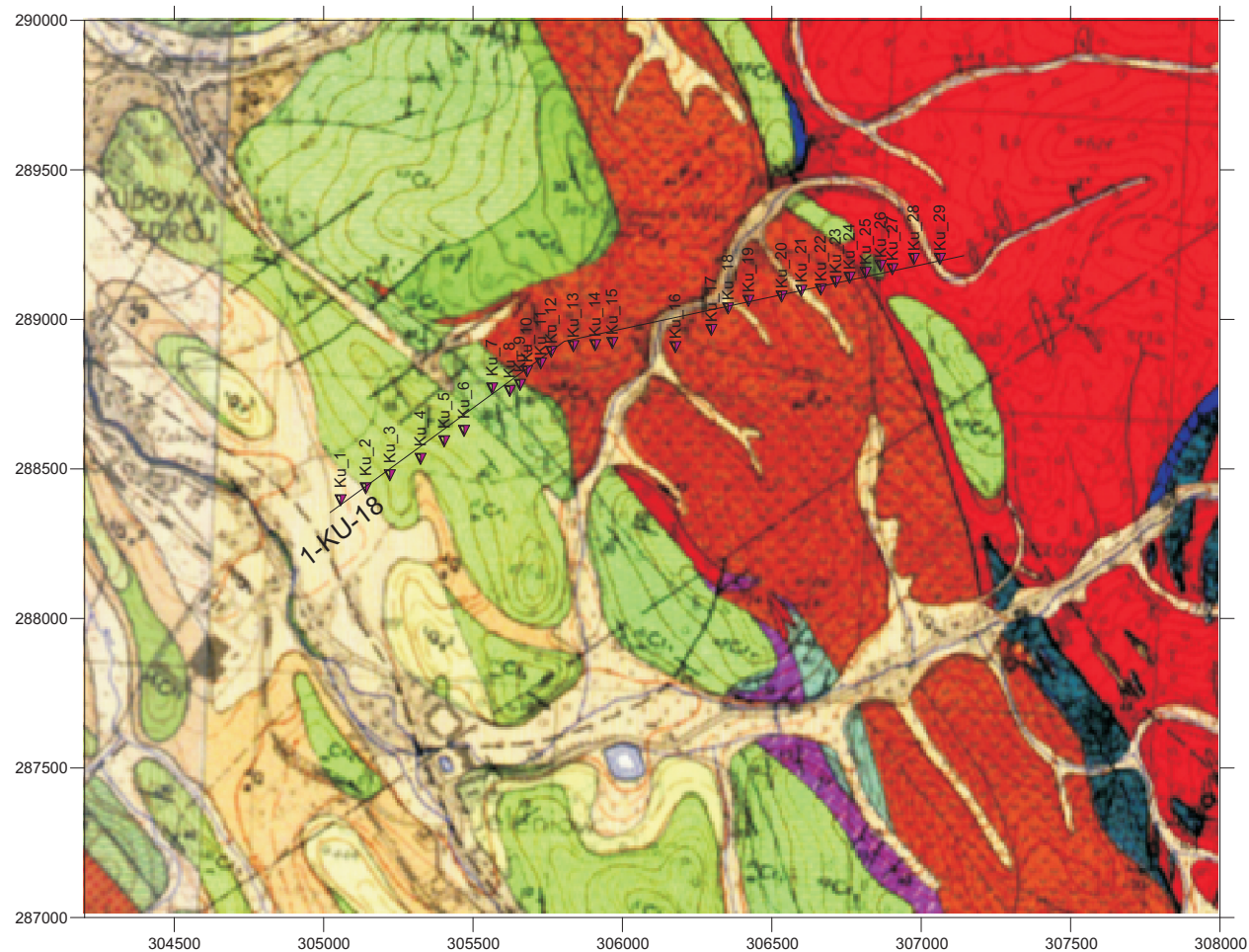




**Figura 3.7.10.1.** Lokalizacja sondowań magnetotellurycznych na tle mapy topograficznej podkład-Mapa Topograficzna Polski źródło:<http://mapy.geoportal.gov.pl/wss/service/img/guest/TOPO/MapServer/WMSServer> -rejon badań -Kudowa, skala 1: 25 000

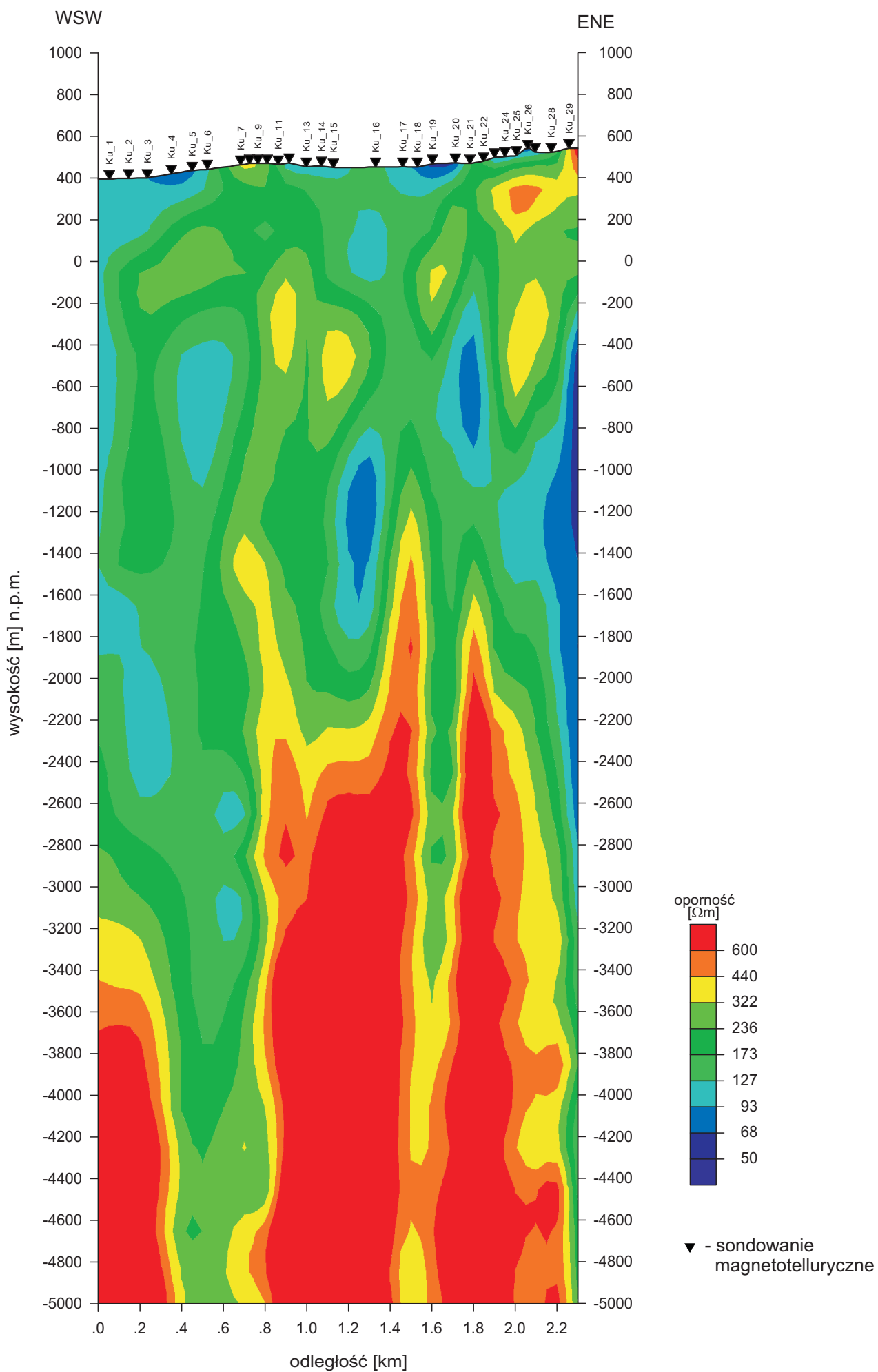


# OBJAŚNIENIA BARW I SYMBOLI

	Osady rzeczne w ogólności
	Gliny deluwialne
	Margle krzemionkowe poziomu Inoceramus lamarcki
	Margle mułkowo-krzemionkowe poziomu Inoceramus labiatus
	Piaskowce krzemiankowe poziomu Actinocamax plenus, lokalnie piaskowce glaukonitowe
	Zlepieńce i arkozy z wkładkami piaskowców
	Porfiry kwarcowe
	Granodioryty z gniazdami sienodiorytów

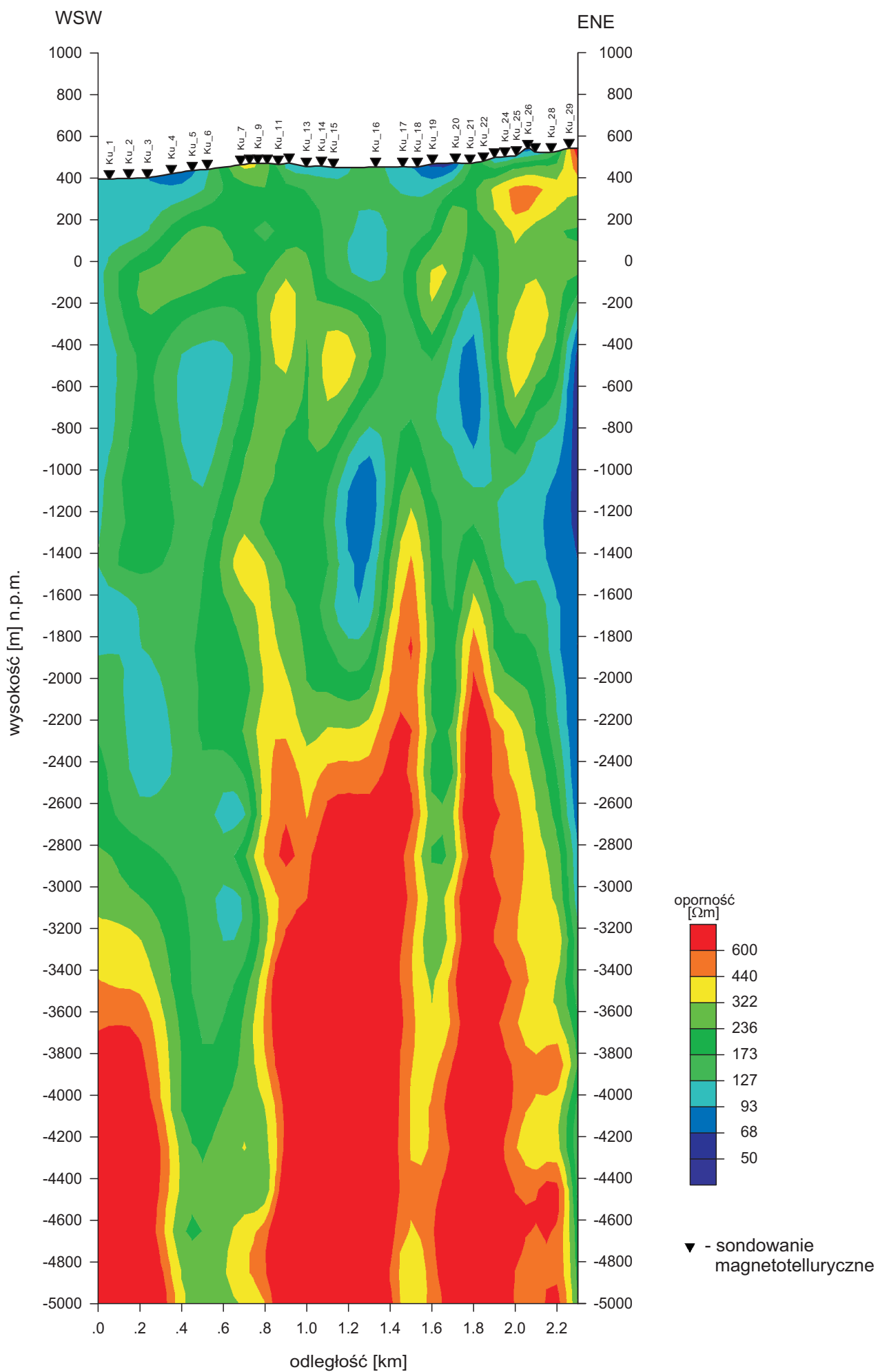
sondowanie magnetotelluryczne  
 profil magnetotelluryczny

**Figura 3.7.10.2.** Lokalizacja wykonanych sondowań magnetotellurycznych na tle Szczegółowej Mapy Geologicznej Sudetów - rejon: Kudowa Zdrój,- fragment arkuszy: M-33-57-C-b KUDOWA ZDRÓJ - opracował: J.Gierwielaniec, 1955 r. i M-33-57-D-a JELENIÓW - opracował: J.Gierwielaniec, ST. Radwański, 1955 r., skala 1: 25 000



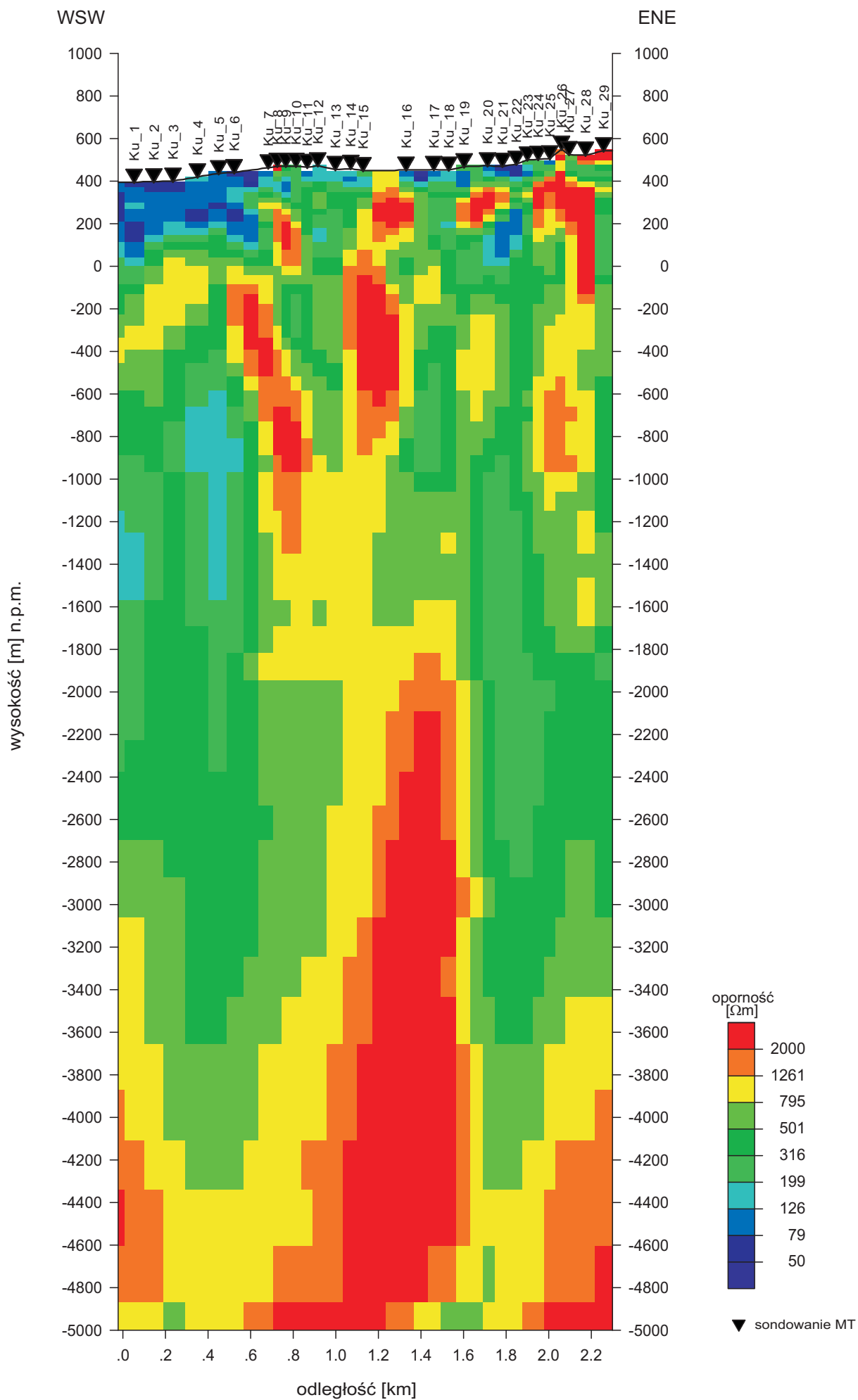
**Figura 3.7.10.3.** Rozkład oporności wzdłuż profilu 1-KU-18 Kudowa na podstawie inwersji 1D wg algorytmu Occama dla polaryzacji magnetycznej



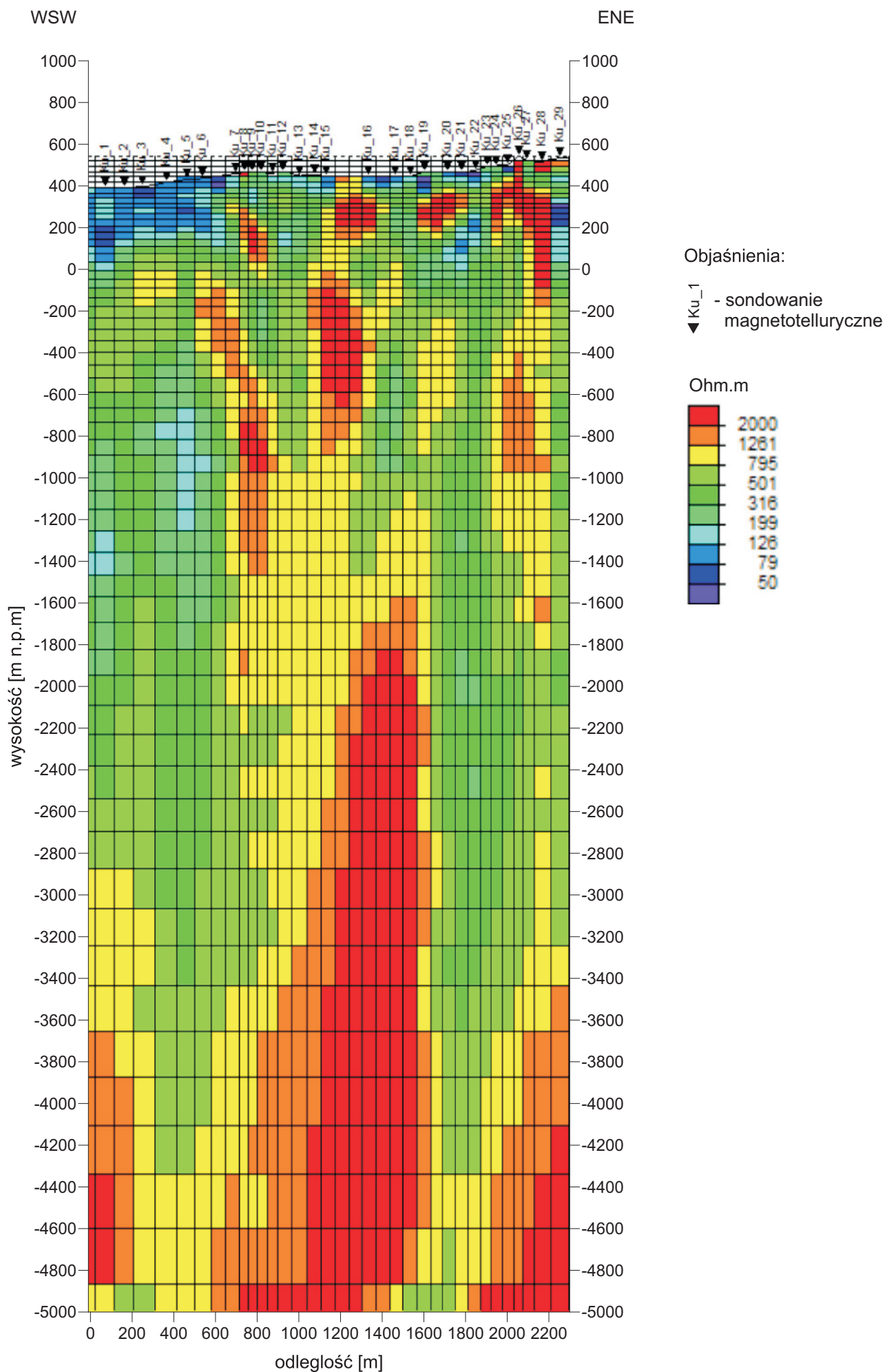


**Figura 3.7.10.4.** Rozkład oporności wzdłuż profilu 1-KU-18 Kudowa na podstawie inwersji 1D wg algorytmu Occama dla polaryzacji elektrycznej

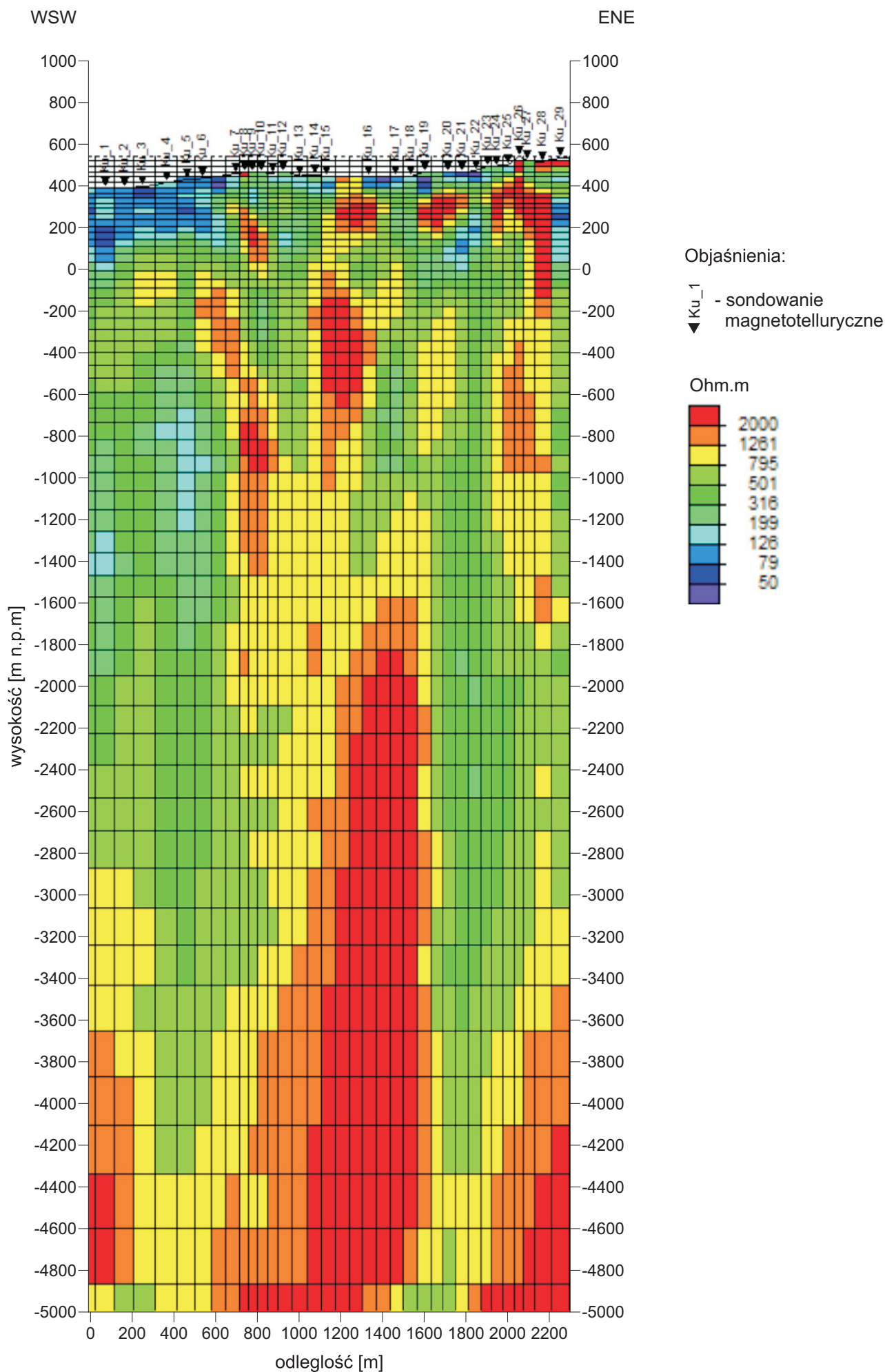




**Figura 3.7.10.5.** Rozkład oporności wzdłuż profilu 1-KU-18 Kudowa na podstawie inwersji 2D wg algorytmu NLCCG

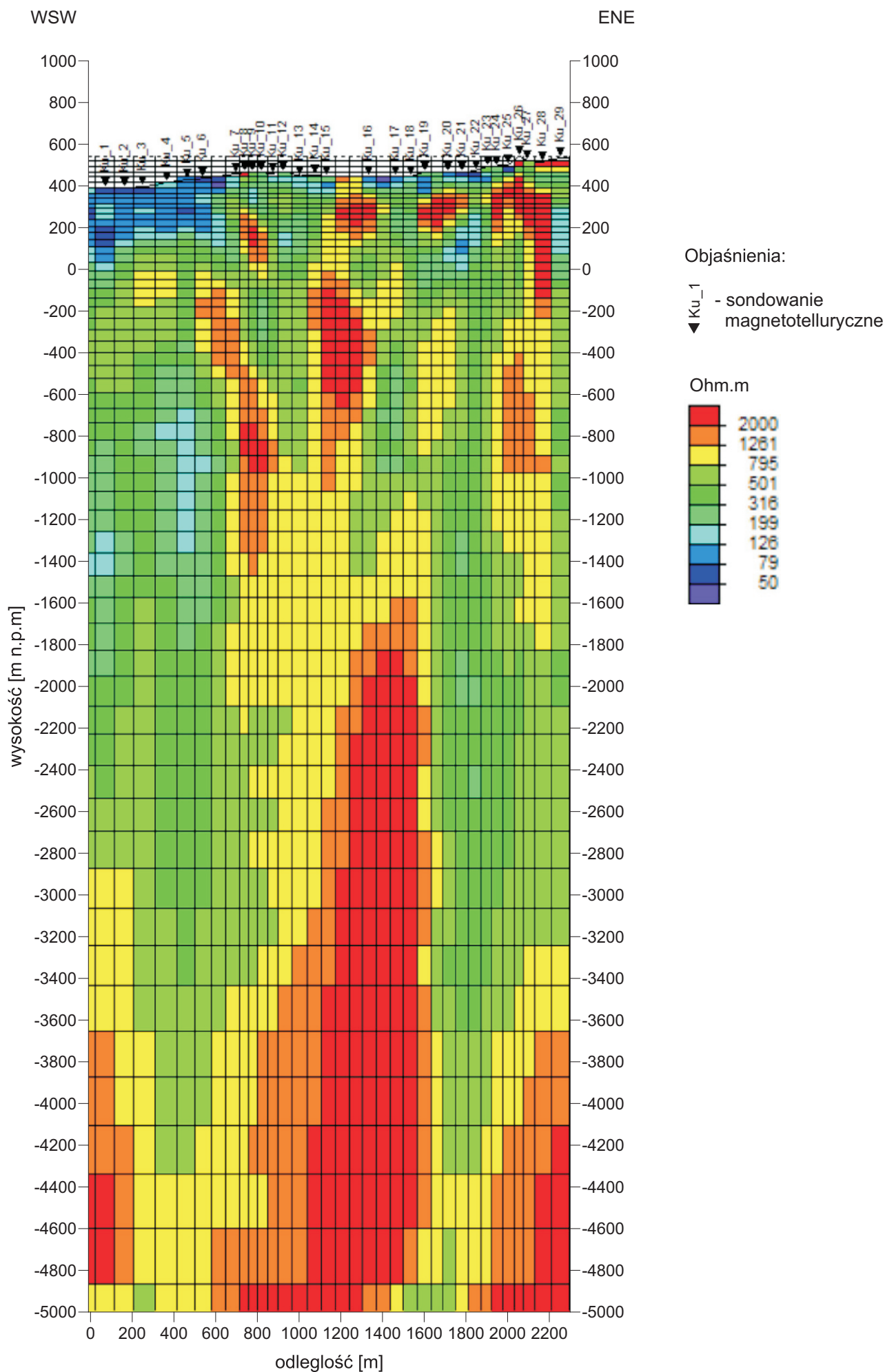


**Figura 3.7.10.5a** Rozkład oporności wzdłuż profilu 1-KU-18 Kudowa na podstawie inwersji 2D wg algorytmu NLCG (iteracja 2)

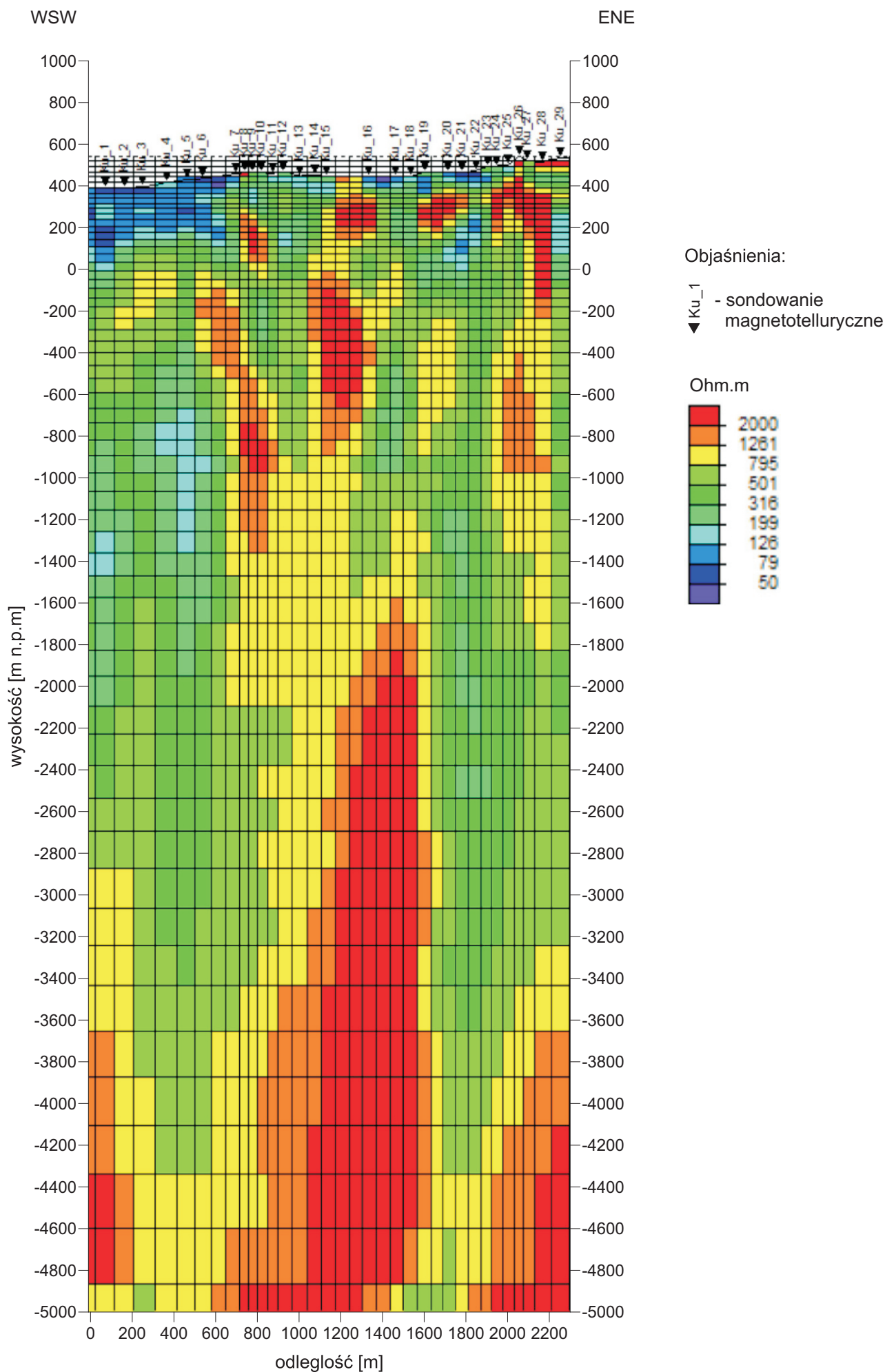


**Figura 3.7.10.5b** Rozkład oporności wzdłuż profilu 1-KU-18 Kudowa na podstawie inwersji 2D wg algorytmu NLCG (iteracja 4)

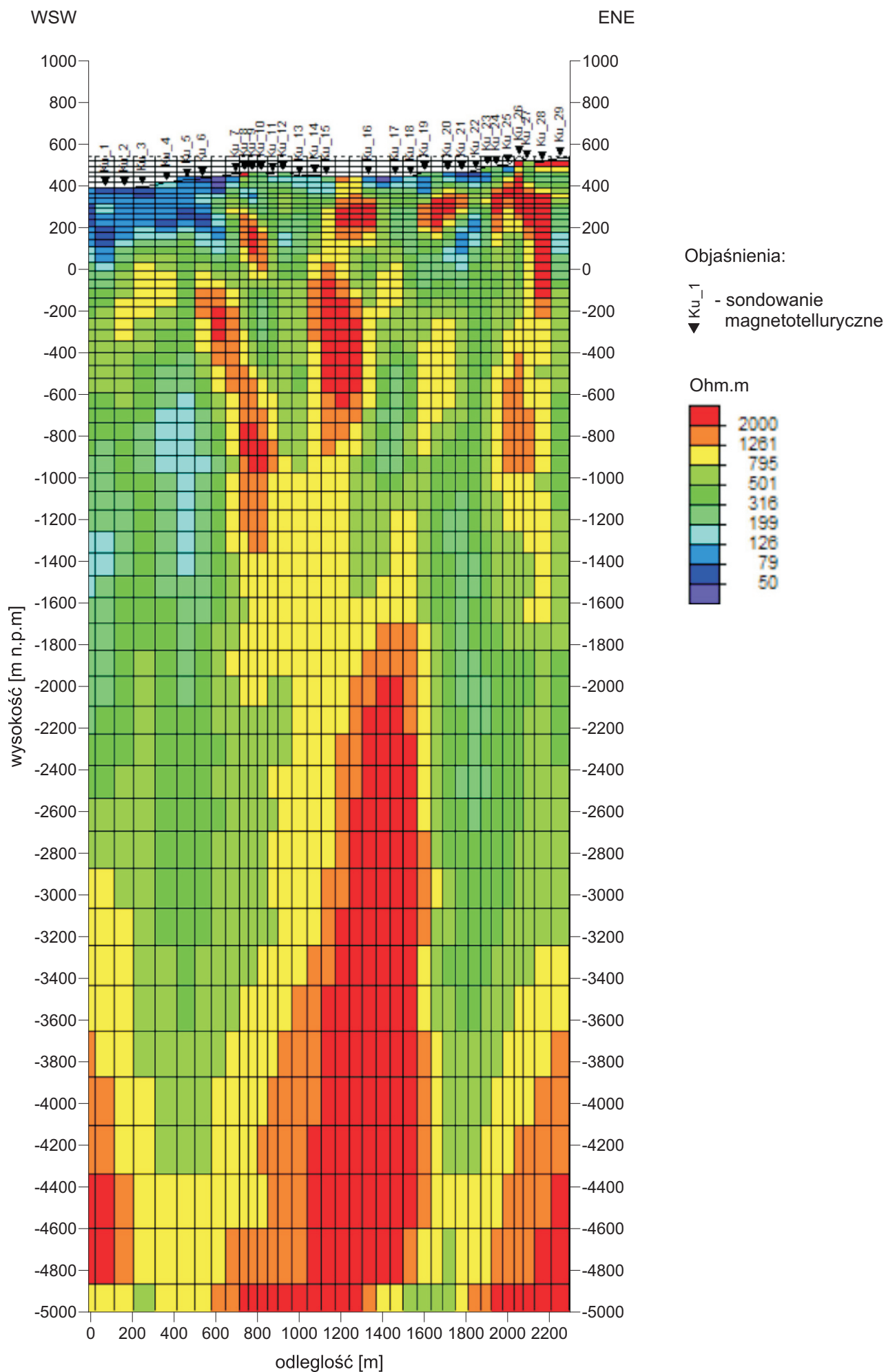




**Figura 3.7.10.5c** Rozkład oporności wzdłuż profilu 1-KU-18 Kudowa na podstawie inwersji 2D wg algorytmu NLCG (iteracja 6)

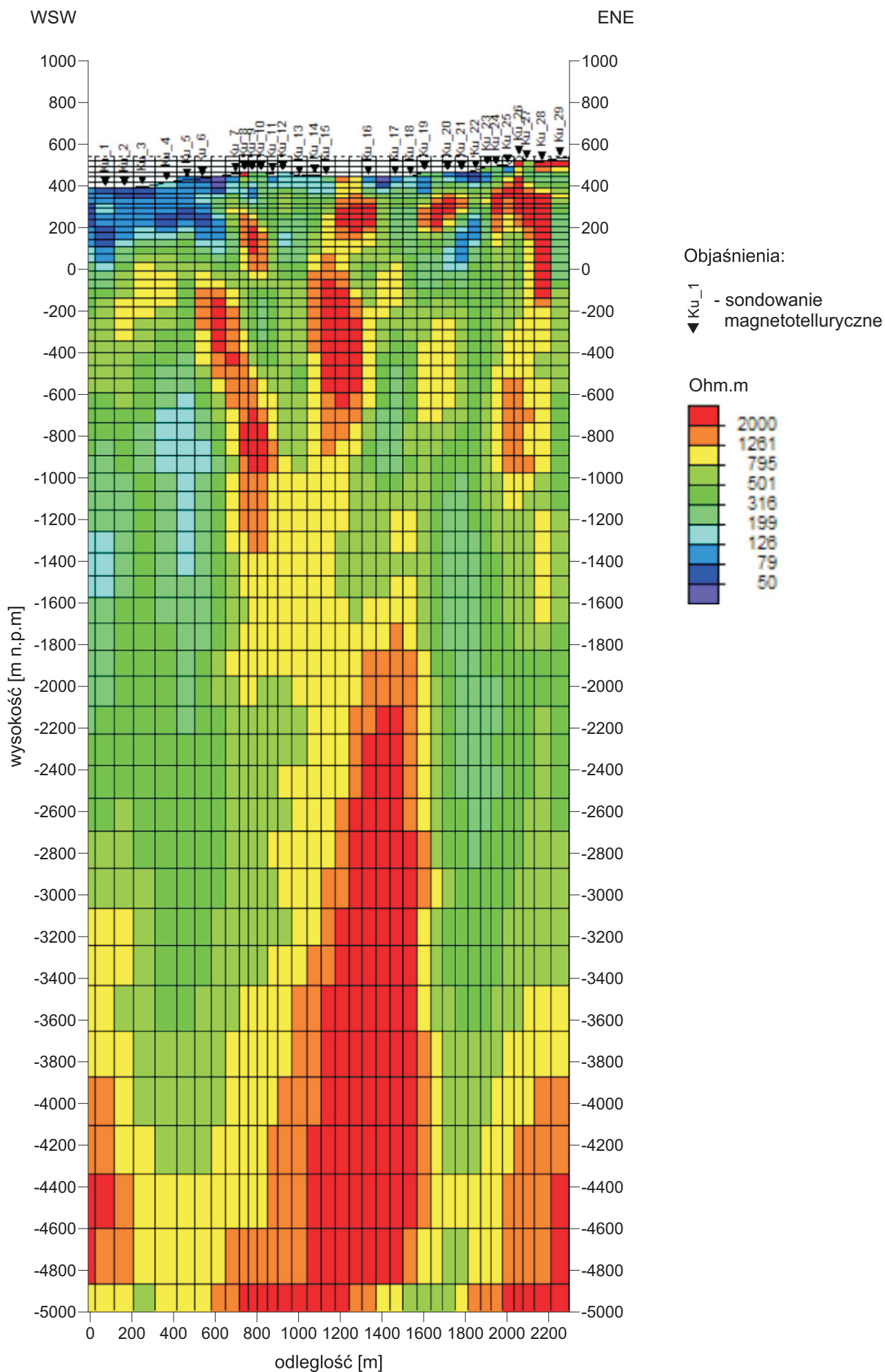


**Figura 3.7.10.5d** Rozkład oporności wzdłuż profilu 1-KU-18 Kudowa na podstawie inwersji 2D wg algorytmu NLCG (iteracja 8)

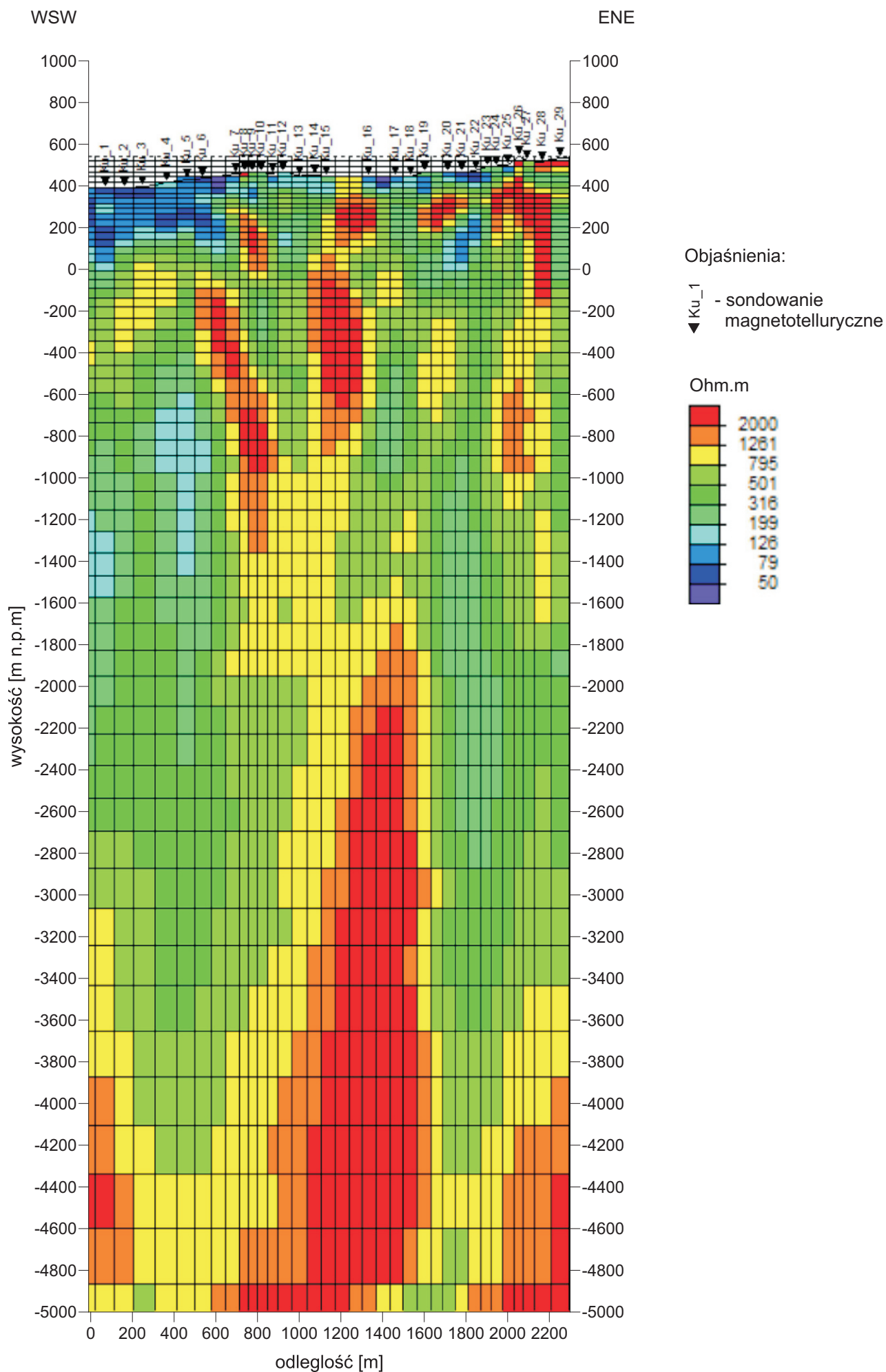


**Figura 3.7.10.5e** Rozkład oporności wzdłuż profilu 1-KU-18 Kudowa na podstawie inwersji 2D wg algorytmu NLCCG (iteracja 10)

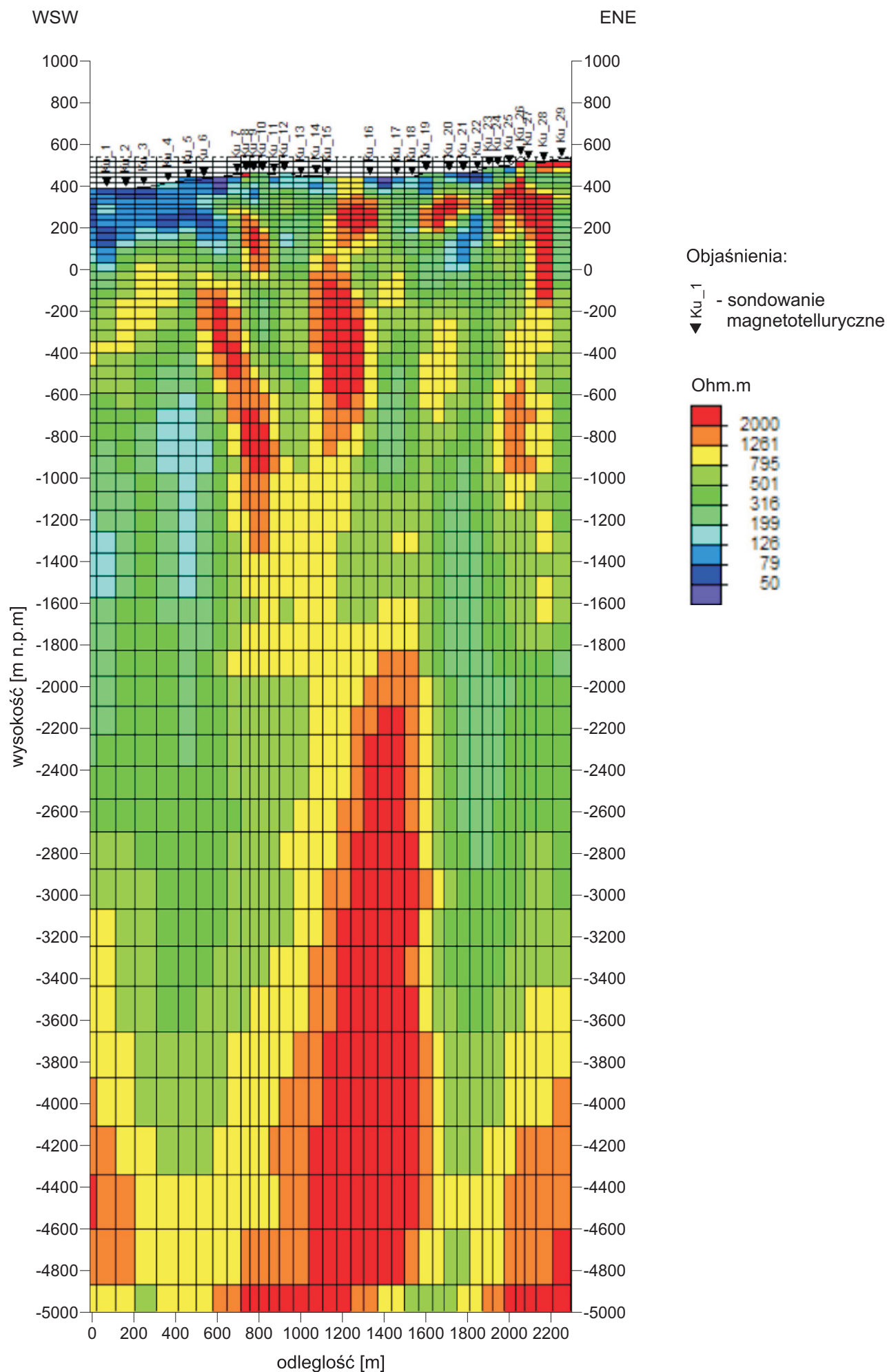




**Figura 3.7.10.5f** Rozkład oporności wzdłuż profilu 1-KU-18 Kudowa na podstawie inwersji 2D wg algorytmu NLCG (iteracja 12)

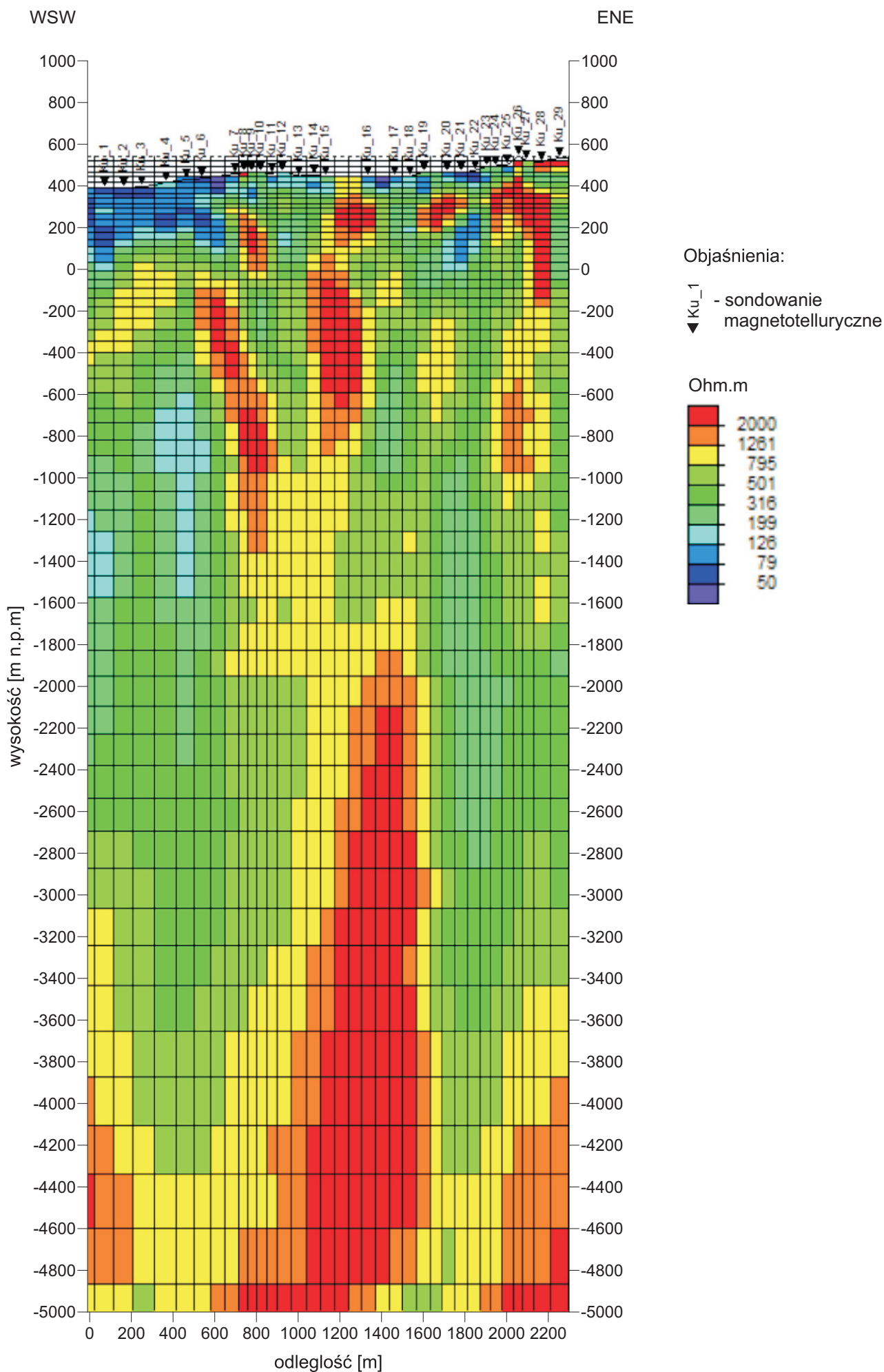


**Figura 3.7.10.5g** Rozkład oporności wzdłuż profilu 1-KU-18 Kudowa na podstawie inwersji 2D wg algorytmu NLCG (iteracja 14)

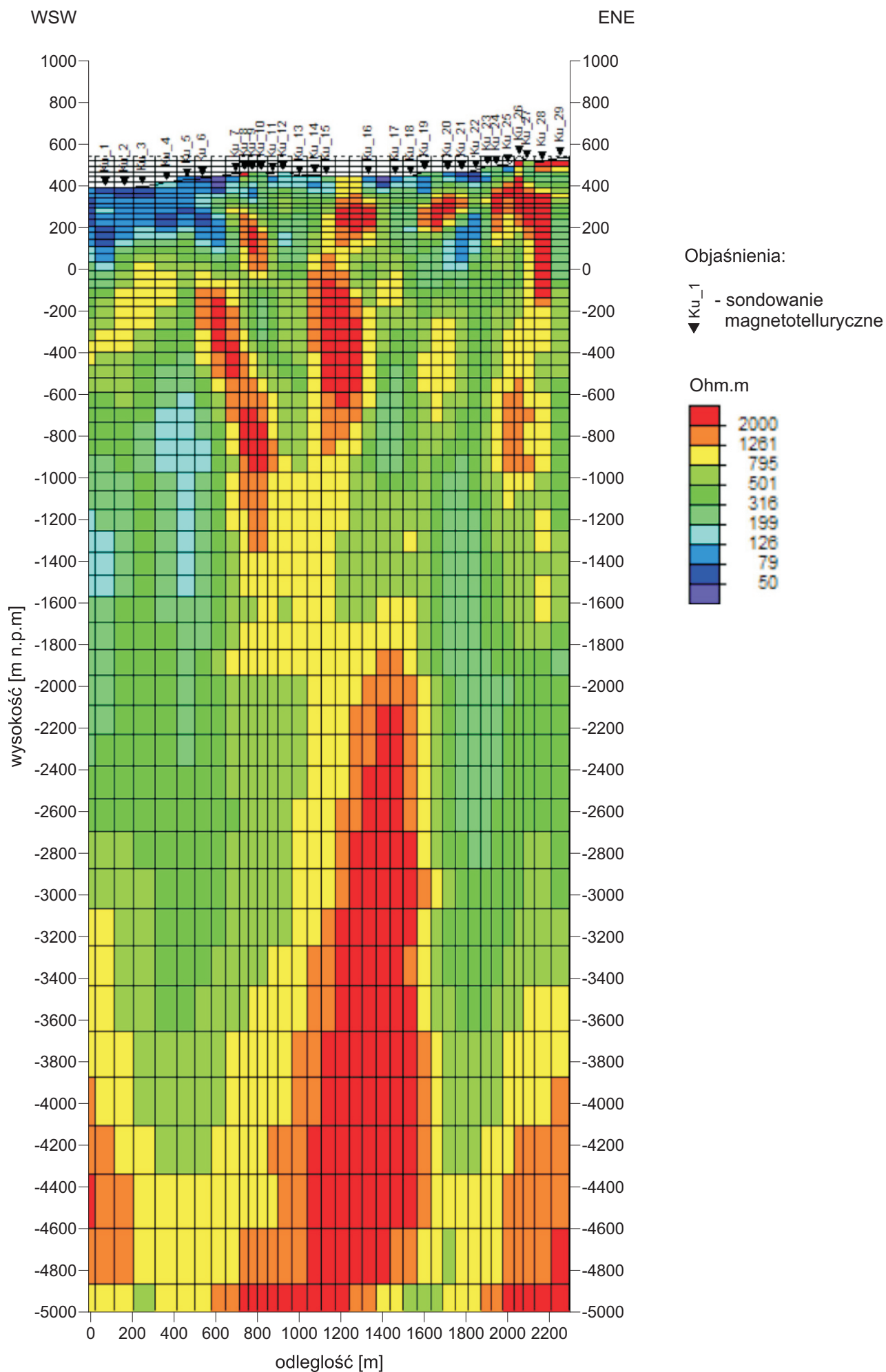


**Figura 3.7.10.5h** Rozkład oporności wzdłuż profilu 1-KU-18 Kudowa na podstawie inwersji 2D wg algorytmu NLCG (iteracja 16)

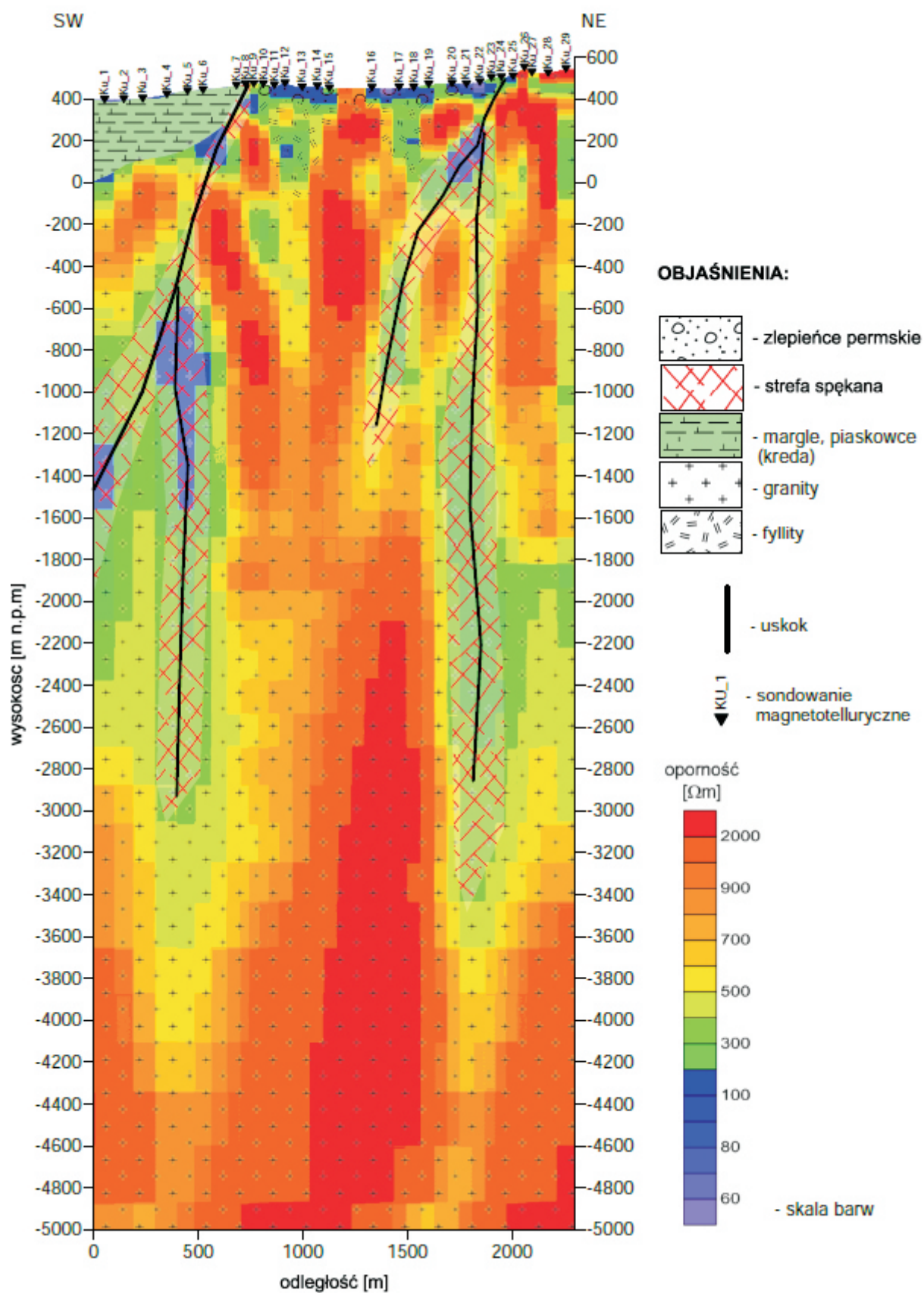




**Figura 3.7.10.5i** Rozkład oporności wzdłuż profilu 1-KU-18 Kudowa na podstawie inwersji 2D wg algorytmu NLCG (iteracja 18)



**Figura 3.7.10.5j** Rozkład oporności wzdłuż profilu 1-KU-18 Kudowa na podstawie inwersji 2D wg algorytmu NLCG (iteracja 20)



**Figura 3.7.10.6.** Interpretacja geologiczna wzdłuż profilu 1-KU-18 Kudowa wykonana na podstawie rozkładu oporności uzyskanego w wyniku inwersji 2D wg algorytmu NLCG oraz danych geologicznych